

**การประมาณความสูงจากการอย่างเท้าและเส้นขอบร่างฝ่าเท้าจากกลุ่ม Gujjars เขตภาคเหนือของ
ประเทศอินเดีย**

Estimation of stature from footprint and foot outline dimensions in Gujjars of North India

Kewal Krishan *

Department of Anthropology, Panjab University, Chandigarh 160014, India

Forensic Science International 175 (2008) 93–101

บทคัดย่อ

การประมาณความสูงของบุคคลเป็นอีกหนึ่งตัวแปรที่สำคัญในการตรวจพิสูจน์ทางนิติวิทยาศาสตร์ การตรวจรอยฝ่าเท้าเริ่มเป็นวัตถุพยานที่มีความสำคัญอย่างยิ่งในการตรวจสอบที่เกิดเหตุและสามารถช่วยประมาณความสูงของอาชญากรได้ ดังนั้นการวิเคราะห์จากการอย่างเท้าเปล่าจึงเป็นงานที่ช่วยคลายทางคดีได้มากโดยเฉพาะประเทคโนโลยี ดังเช่น ที่อินเดียที่พบว่ารอยฝ่าเท้าเป็นวัตถุพยานที่มักพบได้บ่อย ในสถานที่เกิดเหตุ การศึกษานี้จึงต้องการสร้างวิธีในการประมาณความสูงจากการอย่างเท้าและเส้นขอบร่างฝ่าเท้าทั้งสองข้างจำนวน 2,080 รอยที่เก็บจากกลุ่มตัวอย่างประชาชนชนกลุ่มน้อย Gujjars ทางตอนเหนือของประเทศอินเดีย ช่วงอายุระหว่าง 18 ถึง 30 ปีจำนวน 1,040 คน รอยฝ่าเท้าและเส้นขอบร่างฝ่าเท้าทั้งสองข้างของแต่ละบุคคลจะใช้วิธีการวัด 10 และ 8 วิธีตามลำดับ ผลการศึกษาชี้ให้เห็นว่าเส้น T-2 กับเส้น T-5 ของรอยฝ่าเท้า และ เส้น T-1, เส้น T-4 กับส่วน bread of ball ของเส้นขอบร่างฝ่าเท้ามีความแตกต่างอย่างมีนัยสำคัญทางสถิติเมื่อเทียบระหว่างเท้าทั้งสองข้าง อีกทั้งยังแสดงความสัมพันธ์เชิงบวกอย่างมีนัยสำคัญทางสถิติระหว่างความสูงของบุคคลกับการวัดความยาวฝ่าเท้าที่ใช้ในการศึกษาครั้นนี้ ($P < 0.001$ และ 0.01) ยกเว้นมุม Toe1-5 ที่ไม่แสดงความสัมพันธ์อย่างมีนัยสำคัญทางสถิติ จะเห็นได้ว่าการศึกษาครั้นนี้ได้แสดงความสัมพันธ์อย่างสูงที่สุดระหว่างความสูงของบุคคลกับความยาวของเท้าด้วยวิธีการวัดโดยฝ่าเท้าที่ถูกใช้ในการศึกษาครั้นนี้ (0.82 – 0.87) การวิเคราะห์ด้วยสถิติดอกolyพบว่า มีค่าเฉลี่ยความผิดพลาดในการประมาณความสูงที่น้อย (2.12 – 3.92 เซนติเมตร) และน้อยกว่าการศึกษาครั้งก่อน (3.29 – 4.66 เซนติเมตร) ดังนั้นจึงมีความน่าเชื่อถือมากกว่า จากสมการดังนี้สามารถยืนยันได้ว่าวิธีการวัดนี้มีความแม่นยำในการเปรียบเทียบเมื่อต้องประมาณความสูงของบุคคลที่แท้จริงได้อีกด้วย

คำสำคัญ : นิติวิทยาศาสตร์, นิติมานุษยวิทยา, การพิสูจน์เอกสารชั้นบุคคล, การประมาณความสูงบุคคล, รอยฝ่าเท้า, เส้นขอบร่างฝ่าเท้า, ชนกลุ่ม Gujjars ทางตอนเหนือของอินเดีย

1. บทนำ

รอยฝ้าเท้าเป็นวัตถุพยานที่มีคุณค่าอย่างสูง ที่แสดงให้เห็นถึงลักษณะเอกสารลักษณ์บุคคลและถูกนำมาใช้ในกระบวนการตรวจสอบทางนิติวิทยาศาสตร์ ซึ่งเป็นวัตถุพยานหนึ่งที่มักพบในสถานที่เกิดเหตุ และสามารถเชื่อมโยงระหว่างสถานที่เกิดเหตุนั้นกับผู้ต้องสงสัยได้ เมื่อรอยฝ้าเท้าสามารถถูกตรวจพบในสถานที่เกิดเหตุทุกกฎแบบ แต่มักพบในคดีข่มขืนและฆาตกรรมเป็นส่วนมาก การตรวจวิเคราะห์รอยฝ้าเท้าจึงเป็นสิ่งที่น่าสนใจอย่างยิ่งโดยเฉพาะประเทคโนโลยีลักษณะภูมิประทศ [1,2] ทำให้อาจพบลักษณะรอยฝ้าเท้าบางส่วนหรือเต็มเท้าบนพื้นดินที่เปลี่ยนไป พื้นเคลื่อน เงา พื้นซีเมนต์ พื้นเปียก ซึ่งอาจมีฝุ่น โคลน ทราย น้ำมัน สี หรือเลือดพบร่องรอยที่เกิดเหตุมาตกร่วมด้วยได้

การวิเคราะห์รอยฝ้าเท้าสามารถช่วยในการประมาณความสูงของบุคคลได้ เนื่องจากมีความสัมพันธ์เชิงบวกระหว่างความสูงกับขนาดของเท้า ดังนั้นรอยฝ้าเท้าจึงสามารถเป็นตัวชี้วัดกระดูกและลักษณะโครงสร้างของบุคคลหนึ่งได้ Gayer [3] เป็นคนแรกที่มีการศึกษารอยฝ้าเท้าอย่างจริงจัง และแสดงรายละเอียดต่างๆ ของรอยฝ้าเท้าตีพิมพ์เป็นหนังสือ ในขณะที่เขาทำงานอยู่ที่อินเดีย ในอดีตนั้น มีการศึกษาอย่างมากมายที่พยายามหาวิธีพิสูจน์เอกสารลักษณ์บุคคล [1,4–10] และประมาณความสูงของบุคคลจากเท้าและรอยฝ้าเท้า [11–21] แต่การศึกษาที่ผ่านมามักใช้วิธีการศึกษารอยฝ้าเท้าในเชิงนิติวิทยาศาสตร์ที่แตกต่างกัน ล่าสุดการศึกษาของ Robbins [11,13], Barker and Scheuer [18], Topinard [22,23], Martin [24], Martin and Saller [25], Pales [26] และ Jasuja [27] ได้แสดงค่าความยาวฝ้าเท้าต่อร้อยละความสูงบุคคลจากกลุ่มประชากรที่หลากหลายที่แตกต่างกันในช่วง 14.9 – 18.1 บางการศึกษา [13,27,28] แสดงค่าปัจจัยรับทราบเมื่อประมาณผลที่เกิดจากจากการวัดเท้าหรือรอยฝ้าเท้า อย่างไรก็ตามผลการศึกษาพบว่ามี estimation error ที่สูง ซึ่งจะเห็นได้จากการศึกษาที่ตามมาโดยการใช้สมการลดด้อย [19,20,27–30] เพื่อประมาณความสูงจากเท้าและรอยฝ้าเท้า

แต่การศึกษาที่ผ่านมาโดยส่วนมากใช้กลุ่มประชากรที่หลากหลายจากทั่วโลก ไม่มีการศึกษาใดเลยที่ศึกษาในกลุ่มประชากรเดียว กัน ดังนั้นการศึกษาครั้งนี้จึงต้องการประมาณค่าความสูงของบุคคลจากรอยฝ้าเท้าและเส้นขอบร่างฝ้าเท้าในมิติต่างๆ จากกลุ่มประชากรเดียว กัน (ในอีกทางหนึ่งคือกลุ่มประชากรที่มีความเกี่ยวข้องกัน) ทางตอนเหนือของประเทศไทยเดียว โดยศึกษาในทุกส่วนของรอยฝ้าเท้า และเส้นขอบร่างฝ้าเท้า (มากกว่าการศึกษาส่วนมากที่มักศึกษาแค่ความยาวและความกว้างเท่านั้น) ดังนั้นไม่เฉพาะรอยฝ้าเท้าเต็มเท้าเท่านั้นแต่รวมถึงบางส่วนของรอยฝ้าเท้าด้วย ใน การประมาณความสูงของบุคคลด้วย โดยจะมีการเปรียบเทียบความน่าเชื่อถือในการประมาณจากวิธี division factor และวิธี regression analysis ด้วย

2. วัสดุอุปกรณ์และวิธีการศึกษา

2.1 กลุ่มตัวอย่าง

กลุ่มตัวอย่างในการศึกษาครั้งนี้เป็นชนกลุ่ม Gujjars เพศชายจำนวน 1, 040 คน ที่อาศัยในเขตหุบเขา Sawalik และเขตพื้นที่ติดต่อใกล้กับเมือง Chandigarh ทางตอนเหนือของอินเดีย โดยมีช่วงอายุระหว่าง 18 ถึง 30 ปี อายุเฉลี่ย 24.47 ปี ชนกลุ่ม Gujjars เป็นประชากรค่อนข้างเข้มงวดกับการแต่งงานภายในกลุ่มภรรณะเดียวกัน โดยชนกลุ่ม Gujjars เป็นกลุ่มชาติพักใหญ่ที่สุดในทางตอนเหนือของอินเดีย โดยไม่ค่อยมีการอพยพบ้านถิ่นฐานและประกอบอาชีพเกษตรกรรมเป็นอาชีพหลักและทำการปลูกผักร่วมด้วย

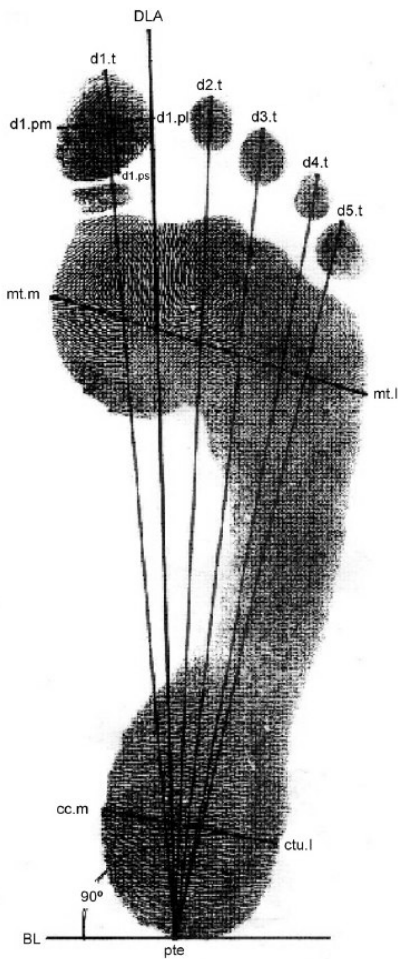
กลุ่มตัวอย่างมาจาก 16 หมู่บ้านที่มีชื่อว่า Nada, Parachh, Kahne Ka Bara, KraundeWala, Jainti Majri, Gurha, Kasauli, Chhoti Naggal, Bari Naggal, Pallanpur, Gochar, Mirzapur, Tarapur, Majri, Sukho Majri and Prempura ใกล้เมือง Chandigarh ทั้ง 16 หมู่บ้านนี้จะมีกลุ่ม Gujjars อาศัยอยู่อย่างหนาแน่น ส่วนน้อยเท่านั้นที่เป็นชนกลุ่มภรรณะอื่น โดยอาศัยอยู่ระหว่างเส้นละติจูดที่ 76 องศา 40 ลิปดา – 55 ลิปดาตะวันออก และระหว่างเส้นลองติจูด 30 องศา 47 ลิปดา – 56 ลิปดาเหนือ สภาพอากาศร้อนในฤดูร้อน (อุณหภูมิต่ำสุดและสูงสุด $15^{\circ}\text{C} - 45^{\circ}\text{C}$) และหนาวในช่วงฤดูหนาว (อุณหภูมิต่ำสุดและสูงสุด $2^{\circ}\text{C} - 21^{\circ}\text{C}$)

2.2 วิธีการศึกษา

2.2.1 การวิเคราะห์รอยฝ้าเท้าและเส้นขอบร่างฝ้าเท้า

รอยฝ้าเท้าทั้ง 2, 080 รอยที่เก็บจากรอยฝ้าเท้าทั้งเท้าซ้ายและขวา ของกลุ่มตัวอย่างทั้ง 1,040 คน กลุ่มตัวอย่างทั้งหมด มีกิจวัตรประจำวันที่มักเดินเท้าเปล่า ก่อนการทดสอบกลุ่มตัวอย่าง จะต้องทำความสะอาดเท้าด้วยสบู่และน้ำก่อน หลังทำความสะอาดแล้วผู้วิจัยจะทำการกลึงหมึกลงบนฝ้าเท้า จากนั้นก็จะต้องก้าวเท้าขึ้นที่กลึงหมึกแล้ววางบนกระดาษสีขาวที่วางบนพื้นเรียบ โดยจะทำการเก็บข้อมูลที่ลักษณะที่เท้าวางกับพื้นผู้วิจัยจะทำการลง anatomical landmark [12,24] ของตำแหน่งต่างๆ ของเท้าบนกระดาษด้วยเข็มสอ (รูปที่ 1) ประกอบด้วย

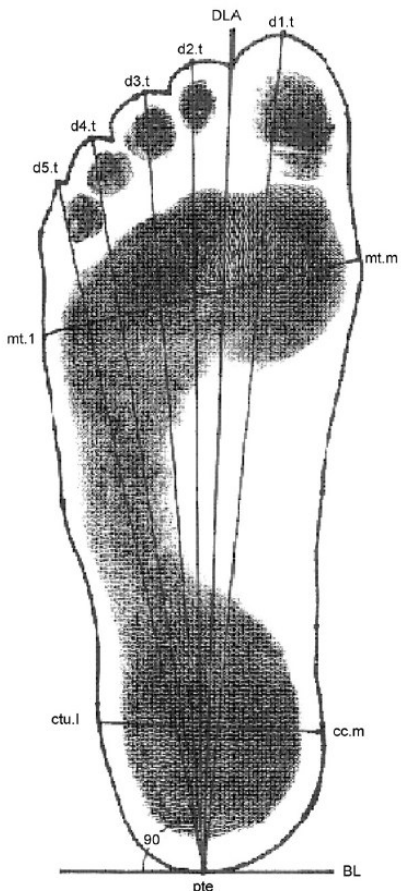
- (a) mid-rear heel point (pternion),
- (b) medial metatarsal point (mt.m),
- (c) lateral metatarsal point (mt.l),
- (d) calcaneal concavity medial (cc.m)
- (e) calcaneal tubercle lateral (ctu.l).



รูปที่ 1 ตำแหน่งสำคัญ (Landmarks) และวิธีการวัดรอบฝ่าเท้า (ใช้วิธีของ Robbins)

ขณะที่ทำการวัดรอบฝ่าเท้า ผู้วิจัยจะทำการร่างเส้นขอบร่วงฝ่าเท้าด้วยดินสอ โดยวางให้ตั้งตรงและชิดเท้าที่สุดเท่าที่จะเป็นไปได้และจำเมื่อการลง Anatomical landmark ของเส้นรอบขอบฝ่าเท้าร่วงด้วย (รูปที่ 2) จากนั้นจะมีการลากเส้นต่างๆ ของเส้นขอบร่วงฝ่าเท้า วิธีการร่างขอบรอบฝ่าเท้านี้ใช้วิธีการวัดของ 1912 Geneva International โดยกลุ่มนักมานุษยวิทยา[31]

วิธีการวัดทั้ง 10 วิธีสำหรับรอบฝ่าเท้าและ 8 วิธีสำหรับเส้นรอบร่วงฝ่าเท้า โดยวัดทั้งเท้าซ้ายและขวา ตามวิธีของ Robbins [12] เส้น designated longitudinal axis (DLA) และเส้นฐาน (BL) จะถูกร่างก่อน DLA เป็นเส้นที่ลากจากจุด pterion (pte.) ซึ่งเป็นจุดที่อยู่ห่างสุดของสันเท้าและลากผ่านจุดที่อยู่ข้างนอกสุดของนิ้วหัวแม่มโป่ง เท้า เส้น DLA จะไม่นำมาใช้ในการวัดความยาวฝ่าเท้าแต่ถูกนำมาเพื่อเบรย์บเทียบไม่ใช้เส้นที่ลากจากจุดที่อยู่ห่างสุดของนิ้วหัวแม่มโป่ง จุดที่เส้นฐาน (BL) จะลากผ่านจุด pterion และทำมุมตั้งฉากกับเส้น DLA วัดโดยใช้ไม้პროტეკเตօრ์โดยให้จุด pterion อยู่ต่อหน้าเส้น DLA ประมาณ 1 cm



วิธีการวัดที่ใช้ในการวัดรอยฝ่าเท้าและเส้นรอบข้อมือฝ่าเท้าประกอบด้วย [12]:

- วิธีวัดความยาวของรอยฝ่าเท้าและเส้นรอบข้อมือฝ่าเท้า (T-1 length, T-2 length, T-3 length, T-4 length และ T-5 length) วิธีนี้จะวัดจาก pterion ถึงจุดที่อยู่หันสุดของนิ้วต่างๆ ได้แก่ เส้น d1.t, d2.t, d3.t, d4.t และ d5.t.
- วิธีวัดความกว้างของฝ่าเท้าของรอยฝ่าเท้าและเส้นรอบข้อมือฝ่าเท้า วัดจากฝ่าเท้าด้านนอกสุด (mt.l) ถึงจุดนอกสุดของ metatarsophalangeal joint ถึงฝ่าเท้าด้านในสุด (mt.m) ถึงจุดในสุดของ metatarsophalangeal joint
- วิธีวัดความกว้างของสันเท้าของรอยฝ่าเท้าและเส้นรอบข้อมือฝ่าเท้า ส่วนโคง เร้าด้านในสุด (cc.m) ถึงปุ่มกระดูกนอกสุดของสันเท้า (ctu.l)
- วิธีวัดความยาวของนิ้วโป้งเท้าของรอยฝ่าเท้า วัดจากจุดปลายสุดของนิ้วโป้ง (d1.t) ถึงจุดก้านของนิ้วโป้งเท้า (d1.ps)
- วิธีวัดความกว้างของนิ้วโป้งเท้าของรอยฝ่าเท้า วัดจากจุดนอกสุด (d1.pm) ถึงจุดด้านในสุด (d1.pl) ของนิ้วโป้งเท้า
- 量มือเท้า 1-5 วัดจากเส้นความยาวนิ้วโป้งเอียงทำมุมกับเส้นความยาวนิ้วถอย [12]

รูปที่ 2 ตำแหน่งสำคัญ (Landmarks) และวิธีการวัดเส้นรอบข้อมือฝ่าเท้า (ใช้วิธีของ Robbins) [12]

2.2.2 เทคนิคที่ใช้ในการวัดประมาณความสูงบุคคล

วิธีวัดความสูงของกลุ่มตัวอย่างให้วิธีการวัดมาตราฐานจาก Weiner and Lourie [32] โดย;

กลุ่มตัวอย่างจะยืนบนแผ่นพื้นราบที่ใช้ทดสอบ สันเท้าซิดกัน ยืดลำตัวให้ตรงที่สุดแต่ผ่อนคลาย ใช้ anthropometer ช่วยให้ลำตัวตรง โดยวิเคราะห์ของ anthropometer วางบนศีรษะของกลุ่มตัวอย่างอีกด้านหนึ่งสัมผัสกับสันเท้าเพื่อไม่ให้สันเท้ายกออกจากพื้น

ข้อมูลที่ได้จะถูกประมาณผลด้วยระบบคอมพิวเตอร์ โดยใช้โปรแกรม Statistical Package for Social Sciences (SPSS) บนระบบปฏิบัติการ Widows Professional 2003. ช่วยในการวิเคราะห์ผล

Bilateral asymmetry (การหาค่าความแตกต่างระหว่างเท้าสองข้างในบุคคลคนเดียวกันจากการวัดวิธีต่างๆ) โดยคำนวณค่าที่ได้จากการวัดจากการวัดรอยฝ่าเท้าและเส้นรอบร่างฝ่าเท้า วิเคราะห์โดยใช้สถิติ paired t – test

สถิติ Karl Pearson's correlation coefficients ถูกใช้ในการหาความสัมพันธ์ระหว่างค่าความยาว / ความกว้าง จากการวัดรอยฝ่าเท้าและเส้นรอบร่างฝ่าเท้า

สองวิธีที่ใช้ในการประมาณความสูงของบุคคล ได้แก่ Division factor และ Regression analysis วิธี Division factor คำนวณจากผลรวมของค่าที่ได้จากการวัดวิธีต่างๆหารด้วยความสูงของบุคคลนั้นๆแล้วหารทั้งหมดด้วยจำนวนกลุ่มตัวอย่างทั้งหมด ผลที่ได้จะเป็นค่าเฉลี่ยเป็นปอร์เซ็นต์ของค่าที่เกิดจากการวัดแต่ละวิธีสำหรับกลุ่มตัวอย่างชาว Gujjars เพศชายจำนวน 1,040 ราย โดยแยกคำนวณทั้งรอยฝ่าเท้าและเส้นขอบร่างฝ่าเท้า ส่วนวิธี Regression analysis จะถูกใช้ในการสร้างสมการทดแทนในการประมาณความสูงของบุคคลจากการวัดวิธีต่างๆทั้งรอยฝ่าเท้าและเส้นขอบร่างฝ่าเท้า ข้างอิงตามการศึกษาของ Jasuwa และคณะ [15] ค่า mean error จะถูกนำมาเปรียบเทียบค่าความต่างที่เกิดจากการวัดความสูงจริงกับความสูงที่เกิดจากการประมาณจากวิธีการทั้งสองที่กล่าวมาข้างต้น

3. ผลการศึกษา

ตารางที่ 1 และตารางที่ 2 แสดงค่าเฉลี่ย ค่าเบี่ยงเบนมาตรฐาน ค่าต่ำสุดและค่าสูงสุดจากการอยฝ่าเท้าและเส้นขอบร่างฝ่าเท้าทั้งเท้าข้างและขวาของกลุ่มตัวอย่าง ซึ่งแสดงค่าความแปรปรวนที่เกิดจากการวัดต่างๆ ข้อมูลดังกล่าวจะถูกเปรียบเทียบค่าความแตกต่างระหว่างค่าสูงสุดและต่ำสุดจากการอยฝ่าเท้าและเส้นขอบร่างฝ่าเท้าในตารางเดียวกัน

Table 1
Descriptive statistics of footprint measurements in adult male Gujjars ($n = 1040$)

Measurement (cm)	Mean		S.D.		Minimum		Maximum	
	Left	Right	Left	Right	Left	Right	Left	Right
T-1 length (d1.t-ptc)	24.05	24.13	3.23	3.26	19.6	19.3	27.9	27.3
T-2 length (d2.t-ptc)	24.15	23.93	3.12	3.12	18.9	18.8	28.1	28.5
T-3 length (d3.t-ptc)	23.45	23.51	2.93	2.99	18.1	18.3	26.8	26.3
T-4 length (d4.t-ptc)	21.88	21.34	2.35	2.36	17.1	16.9	25.3	25.9
T-5 length (d5.t-ptc)	20.78	20.09	2.30	2.23	16.2	16.5	23.3	23.4
Breadth at ball (mt.m-mt.l)	8.63	8.69	1.98	1.90	6.2	6.3	10.8	11.1
Breadth at heel (cc.m-ctu.l)	5.08	4.92	1.43	1.39	3.1	3.0	8.3	8.4
Big toe pad length (d1.t-d1.ps)	2.98	3.11	0.87	0.89	1.8	1.8	5.6	5.6
Big toe pad breadth (d1.t-d1.pl)	2.48	2.60	0.72	0.68	1.6	1.5	4.3	4.4
Toe 1-5 angle of declination	58°	60°	5.8	5.1	44°	43°	73°	71°

Table 2
Descriptive statistics of foot outline measurements in adult male Gujjars ($n = 1040$)

Measurement (cm)	Mean		S.D.		Minimum		Maximum	
	Left	Right	Left	Right	Left	Right	Left	Right
T-1 length (d1.t-ptc)	25.82	25.43	3.23	3.25	20.2	19.9	28.8	28.3
T-2 length (d2.t-ptc)	25.78	25.35	3.42	3.36	19.2	18.9	28.3	28.6
T-3 length (d3.t-ptc)	24.97	25.07	2.91	2.82	18.8	18.5	27.3	27.3
T-4 length (d4.t-ptc)	23.15	22.93	2.31	2.33	18.6	17.9	24.9	25.3
T-5 length (d5.t-ptc)	22.08	21.81	2.29	2.28	16.1	16.4	22.6	22.7
Breadth at ball (mt.m-mt.l)	9.63	9.85	2.21	1.92	6.1	6.4	10.9	11.3
Breadth at heel (cc.m-ctu.l)	5.98	6.15	1.53	1.49	3.2	3.5	8.5	8.4
Toe 1-5 angle of declination	59°	60°	5.3	5.7	40°	40°	76°	72°

ตารางที่ 3 แสดงค่าเฉลี่ย ค่าเบี่ยงเบนมาตรฐาน และค่า “*t*” เพื่อการค่าความแตกต่างระหว่างเท้าสองข้าง จากวิธีการวัดรอยฝ่าเท้าและเส้นขอบร่างฝ่าเท้าของกลุ่มตัวอย่าง ข้อมูลจากการวัดรอยฝ่าเท้าค่าเฉลี่ยความแตกต่าง (ระหว่างเท้าซ้ายและขวา) ต่ำสุดที่ $T - 3 \text{ length} / \text{bread at ball}$ (0.06) และสูงสุดที่ $T - 5 \text{ length}$ (0.69) มีแค่ค่า $T - 2 \text{ length}$ และ $T - 5 \text{ length}$ เท่านั้นที่แสดงค่าความแตกต่างนัยสำคัญทางสถิติ และค่าของเท้าซ้ายมากกว่าเท้าขวา ขณะที่ค่าที่เกิดจากวัดอื่นไม่แสดงค่าความต่างอย่างมีนัยสำคัญทางสถิติแต่อย่างใด

ข้อมูลจากการวัดเส้นขอบร่างฝ่าเท้า ค่าเฉลี่ยความแตกต่าง (ระหว่างเท้าซ้ายและขวา) ต่ำสุดที่ $T - 3 \text{ length}$ (0.10) และสูงสุดที่ $T - 2 \text{ length}$ (0.43) มีแค่ค่า $T - 1 \text{ length}$, $T - 4 \text{ length}$ และ Bread at ball เท่านั้นที่แสดงค่าความแตกต่างนัยสำคัญทางสถิติ และค่าของเท้าซ้ายมากกว่าเท้าขวา ยกเว้นค่า Bread at ball ที่แสดงเท้าขวามากกว่าเท้าซ้าย ขณะที่ค่าที่เกิดจากวัดอื่นไม่แสดงค่าความต่างอย่างมีนัยสำคัญทางสถิติแต่อย่างใด

Table 3
Means, standard deviations and values of ‘*t*’ of bilateral differences (left-right) in measurements of footprint and foot outline in adult male Gujjars ($n = 1040$)

Measurement (cm)	Footprint			Foot outline		
	Mean difference (left-right)	S.D.	<i>t</i> -Value	Mean difference (left-right)	S.D.	<i>t</i> -Value
T-1 length (d1.t-pte)	-0.08	1.12	-1.91	0.39	1.26	2.83*
T-2 length (d2.t-pte)	0.22	1.32	2.73*	0.43	1.51	1.78
T-3 length (d3.t-pte)	-0.06	1.56	-1.56	-0.10	-1.03	-1.35
T-4 length (d4.t-pte)	0.54	1.21	1.32	0.22	1.21	2.80*
T-5 length (d5.t-pte)	0.69	1.12	2.59*	0.27	1.40	2.10
Breadth at ball (mt.m-mt.l)	-0.06	1.07	1.92	-0.22	1.51	-2.57*
Breadth at heel (cc.m-ctu.l)	0.16	0.89	1.58	-0.17	0.79	-1.39
Big toe pad length (d1.t-d1.ps)	-0.13	0.76	-1.43	-	-	-
Big toe pad breadth (d1.pm-d1.pl)	-0.12	0.40	-1.16	-	-	-
Toe 1-5 angle of declination	-2°	0.26	-0.89	-1°	0.16	-0.78

* $P < 0.01$.

ตารางที่ 4 แสดงค่า Division factor ประกอบค่า mean error ใน การประมาณความสูงของบุคคลจากทั้งรอยฝ่าเท้าและเส้นขอบร่างฝ่าเท้าของกลุ่มตัวอย่าง ข้อมูลจากการวัดรอยฝ่าเท้าในเท้าซ้ายซ้าย ค่าต่ำสุด และค่าสูงสุดของ Division factor แสดงที่ big toe pad breadth (0.0145) และ $T - 2 \text{ length}$ (0.1425) ค่าต่ำสุดและค่าสูงสุดของ mean error แสดงที่ $T - 1 \text{ length}$ (3.35) และ big toe pad length (4.63) ข้อมูลจากการวัดรอยฝ่าเท้าในเท้าขวา ค่าต่ำสุดและค่าสูงสุดของ Division factor แสดงที่ big toe pad breadth (0.0151) และ $T - 1 \text{ length}$ (0.1427) ค่าต่ำสุดและค่าสูงสุดของ mean error แสดงที่ $T - 2 \text{ length}$ (3.329) และ big toe pad breadth (4.66)

Table 4
Values of division factor for estimating stature from various measurements on footprint and foot outline in adult male Gujjars ($n = 1040$)

Measurement (cm)	Left footprint		Right footprint		Left foot outline		Right foot outline	
	Division factor	Mean error	Division factor	Mean error	Division factor	Mean error	Division factor	Mean error
T-1 length (d1.t-pte)	0.1424	3.35	0.1427	3.31	0.1512	3.25	0.1497	3.29
T-2 length (d2.t-pte)	0.1425	3.37	0.1413	3.29	0.1514	3.38	0.1496	3.31
T-3 length (d3.t-pte)	0.1379	3.41	0.1380	3.38	0.1467	3.32	0.1471	3.37
T-4 length (d4.t-pte)	0.1272	3.51	0.1254	3.47	0.1347	3.40	0.1340	3.45
T-5 length (d5.t-pte)	0.1213	3.46	0.1180	3.44	0.1285	3.41	0.1272	3.45
Breadth at ball (mt.m-mt.l)	0.0502	3.96	0.0508	3.98	0.0560	3.86	0.0574	3.97
Breadth at heel (cc.m-ctu.l)	0.0296	4.05	0.0288	4.09	0.0347	4.12	0.0358	4.19
Big toe pad length (d1.t-d1.ps)	0.0174	4.56	0.0179	4.59	-	-	-	-
Big toe pad breadth (d1.pm-d1.pl)	0.0145	4.63	0.0151	4.66	-	-	-	-

ข้อมูลจากการวัดเส้นขอบร่างฝ่าเท้าในเท้าซ้ายข้างซ้าย ค่าต่ำสุดและค่าสูงสุดของ Division factor แสดงที่ breadth at heel (0.0347) และ T – 1 length (0.1512) ค่าต่ำสุดและค่าสูงสุดของ mean error แสดงที่ T – 1 length (3.25) และ breadth at heel (4.12) ข้อมูลจากการวัดเส้นขอบร่างฝ่าเท้าในเท้าซ้ายขวา ค่าต่ำสุดและค่าสูงสุดของ Division factor แสดงที่ breadth at heel (0.0358) และ T – 1 length (0.1497) ค่าต่ำสุดและค่าสูงสุดของ mean error แสดงที่ T – 1 length (3.29) และ breadth at heel (4.19)

ตารางที่ 5 แสดงค่า Karl Pearson's correlation coefficients พ布ว่าข้อมูลค่าจากการวัดวิธีต่างๆ จากรอยฝ่าเท้าและเส้นขอบร่างฝ่าเท้าของกลุ่มตัวอย่าง แสดงความสัมพันธ์เชิงบวกอย่างมีนัยสำคัญทางสถิติ ($P < 0.001$ และ < 0.01) ยกเว้นมุม toe 1-5 angle ที่ไม่แสดงความสัมพันธ์อย่างมีนัยสำคัญทั้งรายฝ่าเท้าและเส้นขอบร่างฝ่าเท้า และพบว่าค่านัยสำคัญที่แสดงความสัมพันธ์อย่างสูงระหว่างความสูงของบุคคลกับวิธีการวัดความยาวของนิ้วจากการรอยฝ่าเท้าและเส้นขอบร่างฝ่าเท้า ($0.82 - 0.87$, $P < 0.001$) แม้ว่าจะมีความสัมพันธ์ค่อนข้างสูงในส่วนของ breadth at ball แต่ก็มีความสัมพันธ์เพียงเล็กน้อยในส่วน breadth at heel

Table 5
Karl Pearson's correlation coefficients between footprint and foot outline measurements with stature ($n = 1040$)

Measurement (cm)	Left footprint/stature	Right footprint/stature	Left foot outline/stature	Right foot outline/stature
T-1 length (d1.t-pte)	0.87*	0.86*	0.85*	0.86*
T-2 length (d2.t-pte)	0.85*	0.87*	0.83*	0.85*
T-3 length (d3.t-pte)	0.86*	0.85*	0.84*	0.85*
T-4 length (d4.t-pte)	0.85*	0.84*	0.83*	0.83*
T-5 length (d5.t-pte)	0.82*	0.82*	0.84*	0.82*
Breadth at ball (mt.m-mt.l)	0.66*	0.64*	0.63*	0.66*
Breadth at heel (cc.m-ctu.l)	0.57*	0.55*	0.53*	0.52*
Big toe pad length (d1.t-d1.ps)	0.41*	0.43*	-	-
Big toe pad breadth (d1.pm-d1.pl.)	0.32**	0.30**	-	-
Toe 1-5 angle of declination	0.09 ^a	0.08 ^a	0.04 ^a	0.08 ^a

^a Values of correlation coefficients are not significant.

* Values of correlation coefficients are highly significant ($P < 0.001$).

** $P < 0.01$.

ตารางที่ 6 และ 7 แสดงสมการทดถอยในการประมาณความสูงจากการวัดรอยฝ่าเท้าและเส้นขอบร่างฝ่าเท้าวิธีต่างๆ โดยค่าคงที่ “a” และ “b” เป็นค่าคําเลขทางสถิติที่ได้จากการประมาณผลด้วยโปรแกรมทางคอมพิวเตอร์ โดยค่าจากสมการทดถอย “a” คือค่าตัวแปรตาม ได้แก่ ความสูงและ “b” คือค่าตัวแปรต้น ได้แก่วิธีการวัดวิธีต่างๆ ของรอยฝ่าเท้าและเส้นขอบร่างฝ่าเท้า ดังนี้สมการ ความสูง = $a + bx$ ที่ “x” = ค่าความยาวจากการวัดรอยฝ่าเท้าและเส้นขอบร่างฝ่าเท้า สมการทดถอยที่ได้จากการคำนวนจากค่าความยาว / ความกว้างของรอยฝ่าเท้าและเส้นขอบร่างฝ่าเท้า โดยแทนค่า “a” และ “b” ในสมการที่ได้จากการplot สมการเส้นตรง ตารางได้แสดงค่า mean error โดยพบร่วมกับค่าความแตกต่างอย่างมีนัยสำคัญทางสถิติ จากค่าที่เกิดจากการวัดความสูงจริงกับค่าที่เกิดจากการประมาณในสมการเมื่อใช้วิธี Regression analysis

Table 6

Regression equations for estimation of stature through various length/breadth measurements of footprint in adult male Gujjars ($n = 1040$)

Measurement (cm)	Regression equations for left footprint	Mean error	Regressions equations for right footprint	Mean error
T-1 length (d1.t-ptc)	$3.689 \times T-1 \text{ length} + 84.013$	2.12	$3.510 \times T-1 \text{ length} + 87.214$	2.16
T-2 length (d2.t-ptc)	$3.864 \times T-2 \text{ length} + 77.783$	2.16	$3.361 \times T-2 \text{ length} + 91.303$	2.15
T-3 length (d3.t-ptc)	$3.520 \times T-3 \text{ length} + 89.146$	2.27	$3.613 \times T-3 \text{ length} + 84.953$	2.30
T-4 length (d4.t-ptc)	$3.869 \times T-4 \text{ length} + 88.013$	2.33	$3.627 \times T-4 \text{ length} + 94.414$	2.32
T-5 length (d5.t-ptc)	$3.985 \times T-5 \text{ length} + 87.753$	2.35	$3.869 \times T-5 \text{ length} + 94.572$	2.31
Breadth at ball (mt.m-mt.l)	$7.951 \times BAB + 102.578$	3.11	$7.673 \times BAB + 105.389$	3.17
Breadth at heel (ccm.-ctu.l)	$9.658 BAH + 122.802$	3.64	$8.781 \times BAH + 126.093$	3.68
Big toe pad length (d1.t-dl.ps)	$12.056 \times BTPL + 133.642$	3.76	$10.969 \times BTPL + 133.402$	3.75
Big toe pad breadth (d1.pm-d1.pl)	$15.996 \times BTPB + 131.361$	3.92	$15.064 \times BTPB + 135.454$	3.88

Table 7

Regression equations for estimation of stature through various length–breadth measurements of foot outline in adult male Gujjars ($n = 1040$)

Measurement (cm)	Regression equation for left foot outline	Mean error	Regression equations for right foot outline	Mean error
T-1 length (d1.t-ptc)	$3.255 \times T-1 \text{ length} + 88.458$	2.18	$3.289 \times T-1 \text{ length} + 87.385$	2.17
T-2 length (d2.t-ptc)	$3.569 \times T-2 \text{ length} + 79.885$	2.22	$3.491 \times T-2 \text{ length} + 83.571$	2.24
T-3 length (d3.t-ptc)	$3.621 \times T-3 \text{ length} + 90.467$	2.23	$3.583 \times T-3 \text{ length} + 80.972$	2.24
T-4 length (d4.t-ptc)	$3.710 \times T-4 \text{ length} + 85.030$	2.30	$3.698 \times T-4 \text{ length} + 84.795$	2.27
T-5 length (d5.t-ptc)	$3.993 \times T-5 \text{ length} + 83.894$	2.28	$3.915 \times T-5 \text{ length} + 85.582$	2.20
Breadth at ball (mt.m-mt.l)	$5.394 \times BAB + 119.625$	3.12	$5.414 \times BAB + 120.951$	3.10
Breadth at heel (ccm.-ctu.l)	$8.810 \times BAH + 118.376$	3.61	$8.735 \times BAH + 120.265$	3.58

4. วิจารณ์การศึกษา

ผลการศึกษาชี้ให้เห็นว่า ผู้ทำวิจัยประسبความสำเร็จในการประมาณความสูงของบุคคลจากการต่างๆ จากการวัดรอยฝ่าเท้าและเส้นขอบร่างฝ่าเท้าด้วยวิธี Division factor และ regression analysis โดยวิเคราะห์ค่า mean error ด้วยอย่างไรก็ตามพึงระลึกไว้เสมอว่าการประมาณค่าความสูงของบุคคล จากรอยฝ่าเท้าและเส้นขอบร่างฝ่าเท้านั้นไม่ใช่ประเด็นหรือเป้าหมายสำคัญในการศึกษารังนี้ เนื่องจากอาจเกิดความผิดพลาดได้เพียงไม่กี่เซนติเมตร

การศึกษารังนี้มีเหตุผลในการใช้กลุ่มตัวอย่างผู้ใหญ่ที่มีช่วงอายุระหว่าง 18 ถึง 30 ปี (อายุเฉลี่ย 24.47 ปี) เนื่องด้วยอายุของประชากรชาวค่าเฉลี่ยความยาวของฝ่าเท้าที่เริ่มโตเมื่ออายุ 16 ปีในเพศชาย [33,34] ตามการศึกษาของ Roche [35] โดยทั่วไปยอมรับว่าเริ่มเข้าสู่วัยผู้ใหญ่เมื่ออายุได้ 18 ปี แม้ว่าจะมีการเพิ่มอีกเล็กน้อยหลังช่วงนี้ ค่ากลางของอายุที่ความสูงเริ่มโตเต็มที่คือ 21.2 ปีและจะเพิ่มขึ้นอีกครั้งประมาณ 10 % ของเพศชายกระแทกอายุ 23.5 ปี [35] แม้ว่าความสูงที่ลดลงไปเนื่องด้วยอายุที่เพิ่มขึ้นจะไม่สามารถอธิบายได้ด้วยขนาดของเท้าและยังยากกว่าจะเกิดความแปรปรวนเท่าไหร่เมื่อต้องนำมาใช้ในการคำนวน [18] การศึกษาของ Friedlaender และคณะ [37] เห็นว่าการลดโดยของความสูงจะไม่สามารถเห็นได้จนกว่าจะล่วงอายุ 50 ปี

วิธีการวัดรอยฝ่าเท้าและเส้นขอบร่างฝ่าเท้าทั้งหมดนั้นถูกนำมาปรับเปลี่ยนได้กับการศึกษาของ Robbins [12] ดังตารางที่ 8 ที่แสดงค่าต่างๆ จากการวัดรอยฝ่าเท้าและเส้นขอบร่างฝ่าเท้าทั้งเท้าซ้ายและขวา การศึกษาจากชนกลุ่ม Gujjars ในครั้งนี้ชี้ให้เห็นค่าที่มากกว่าการศึกษาของ Robbins [12] ที่ได้ศึกษาในกลุ่มตัวอย่างทั้งเพศชายและหญิงที่มีช่วงอายุระหว่าง 14 – 50 ปีในประเทศสหราชอาณาจักร

Table 8

Comparison of the means of various footprint and foot outline measurements of the present study with Robbins [12]

Measurement (cm)	Footprint data				Foot outline data			
	Present study		Robbins [12]		Present study		Robbins [12]	
	Left	Right	Left	Right	Left	Right	Left	Right
T-1 length (d1.t-ptc)	24.05	24.13	23.68	23.59	25.82	25.43	25.10	25.06
T-2 length (d2.t-ptc)	24.15	23.93	23.56	23.44	25.78	25.35	24.67	24.56
T-3 length (d3.t-ptc)	23.45	23.51	22.71	22.56	24.97	25.07	23.79	23.64
T-4 length (d4.t-ptc)	21.88	21.34	21.53	21.36	23.15	22.93	22.57	22.41
T-5 length (d5.t-ptc)	20.78	20.09	19.94	19.75	22.08	21.81	20.99	20.81
Breadth at ball (mt.m-mt.l)	08.63	08.69	08.86	08.84	9.63	9.85	09.70	9.73
Breadth at heel (cc.m-ctu.l)	05.08	04.92	04.93	04.94	5.98	6.15	5.92	5.94
Big toe pad length (dl.t-dl.ps)	02.98	03.11	02.64	02.59	—	—	—	—
Big toe pad breadth (dl.pm-dl.pl)	02.48	02.60	02.39	02.42	—	—	—	—
Toe 1-5 angle of declination (°)	58	60	60.81	60.60	59	60	58.77	58.63

ความยาวของนิ้วโป้ง (T – 1 length) และความกว้างของรอยฝ่าเท้าและเส้นขอบร่างฝ่าเท้าใน การศึกษานี้ได้นำมาเปรียบเทียบกับการศึกษาของ Philib [38] ที่ศึกษาในกลุ่มตัวอย่างทางตอนใต้ของ อินเดียและการศึกษาของ Jasuja และคณะ [15] ที่ศึกษาในกลุ่ม Jat Sikhs ในเขต Punjab ของอินเดีย ที่ใช้วิธีการวัดรอยฝ่าเท้าและเส้นขอบร่างฝ่าเท้าเทคนิคเดียวกัน การศึกษาในกลุ่ม Gujjars ในครั้งนี้ แสดงค่าที่น้อยกว่าเมื่อเทียบกับการศึกษากลุ่มตัวอย่างทางตอนใต้ของอินเดียและกลุ่ม Jat Sikhs ใน เขต Punjab อย่างไรก็ตามค่าเฉลี่ยพบว่าสูงกว่าการศึกษาในครั้งนี้

ผลการศึกษาชี้ให้เห็นว่าวิธีการวัดรอยฝ่าเท้าและเส้นรอบข้อมฝ่าเท้าบางส่วนแสดงว่าความต่าง ระหว่างเท้าซ้ายและขวาอย่างมีนัยสำคัญทางสถิติ อย่างไรก็ตามค่า “x” ยังมีค่าน้อย ซึ่งแสดงค่าความต่างไว้ที่ T-2 และ T-5 lengths ของรอยฝ่าเท้า T-1 และ T-4 lengths ของเส้นขอบร่างฝ่าเท้าพบว่าเท้าซ้ายมากกว่า ยกเว้นส่วน breadth at ball ที่แสดงค่าเท้าขวามากกว่าซ้าย ซึ่งค่าเท้าซ้ายที่มากกว่าเท้าขวาสามารถอธิบายได้จากความจริงคนเรานั้นมักจะใช้เท้าซ้ายเป็นหลักเมื่อต้องยืนและใช้ทรงท่าเมื่อลงน้ำหนักดังการศึกษาของ Singh [39] แม้ว่าคนเราส่วนใหญ่จะใช้เท้าขวาในการเตะและยก แต่ กิจวัตรประจำวันเหล่านี้เป็นเพียงสถานการณ์บางขณะ ขณะที่การลงน้ำหนักและการเดินต้องดำเนินตลอดหลายชั่วโมงในทุกๆวัน เท้าซึ่งต้องรองรับน้ำหนักตัวทั้งหมดเพื่อการทรงตัวเมื่อเจริ่ง หมุนหรือเดินร้า กิจวัตรประจำวันหลักที่มากที่สุดคือการเดิน แม้ว่าบางคนอาจไม่ได้ตระหนัก ชนกลุ่ม Gujjars นั้นโดยส่วนมากประกอบอาชีพเกษตรกรรมตลอดเวลา ทำให้ต้องมีผลกระทบต่อเท้ามากขึ้นที่ต้องทำงาน ดังนั้นจึงไม่น่าแปลกใจเลยที่พบว่าเท้าหรือรยางค์ที่ใช้ในการเดินหรือทำงานลงน้ำหนักจะถูกใช้ จะมีการพัฒนามากกว่า การศึกษานี้สามารถสรุปได้ว่าชนกลุ่ม Gujjars นี้มีขนาดเท้าซ้ายที่ใหญ่กว่าเท้าขวา โดยการศึกษานี้พบว่าชนกลุ่ม Gujjars นี้มีขนาดเท้าซ้ายที่ใหญ่กว่าเท้าขวา

การศึกษาในครั้งนี้สอดคล้องกับการศึกษาของ Rao และ Kotian [40] ที่แนะนำว่าความแตกต่าง ระหว่างเท้าซ้ายและขวาจากรอยฝ่าเท้าในบุคคลคนเดียวกันสามารถอธิบายได้จากทฤษฎี “Dominant foot” ซึ่งทุกคนล้วนมีเท้าหลักซึ่งใช้ในการรองรับน้ำหนักตัวเองขณะที่ยืนหรือเดิน จะสามารถลด รองเท้าในเท้าหลักได้มากกว่าเท้าอีกข้าง กระดูกในข้างที่เป็นเท้าหลักจะสามารถรับแรงกดกระแทก เช่น

รับน้ำหนักได้มากกว่ากระดูกอีกข้างหนึ่ง ในอีกทางหนึ่งพบว่าที่การขยายขนาดของกระดูกส่วนของเท้าหลักด้วย ดังนั้นจึงลักษณะนี้ในรอยฝ่าเท้าและเส้นรอบข้อบ่อฝ่าเท้าด้วย

การศึกษาของ Robbins [12] ซึ่งไม่พับค่าความต่างอย่างมีนัยสำคัญทางสถิติระหว่างเท้าสองข้างจากการทดสอบวัดฝ่าเท้าของบุคคลเดียวกันในกลุ่มตัวอย่างชาวสหสูตรเมริกา “แม้ว่าวิธีการวัดเหล่านี้จะไม่สามารถแยกแยะระหว่างเท้าซ้ายและขวา แต่ก็สามารถประมาณความสูงและน้ำหนักจากการอยู่ฝ่าเท้าเปล่าได้” ซึ่งคล้ายกับการศึกษาของ Phillip [29] ที่แม่จะสามารถประมาณความสูงจากการอยู่ฝ่าเท้าได้แต่ก็ไม่พับความแตกต่างระหว่างเท้าซ้ายและขวาในกลุ่มตัวอย่างที่อาศัยอยู่ทางใต้ของอินเดีย

การศึกษาของ Jasuja และคณะ [15] ประสบผลสำเร็จในการประมาณความสูงจากการเท้าซ้ายและขวา แต่ก็ไม่สามารถแยกความต่างระหว่างเท้าซ้ายและขวาได้

ผู้วิจัยได้ระมัดระวังขณะที่ทำการวัดความสูงในกลุ่มตัวอย่างและขณะที่ทำการวัดรอบฝ่าเท้าและเส้นรอบร่วงฝ่าเท้า เพื่อป้องกัน inter – observer error ผู้ทำการวิจัยได้วัดรอบฝ่าเท้าและเส้นรอบร่วงฝ่าเท้าด้วยวิธีต่างๆด้วยตนเองเพียงคนเดียว เพื่อป้องกัน intra – observer error ผู้ทำการวิจัยได้ทำการวัดซ้ำ 2 ครั้งในกลุ่มตัวอย่างจำนวน 30 คน โดยนำค่า intra – observer error คำนวณด้วยวิธีของ Dangour [41,42] ค่าความคลาดเคลื่อนที่ได้อยู่ในช่วงที่สามารถควบคุมได้ [43] จึงซึ่งได้วิธีการวัดในการศึกษานี้ไม่มี intra – observer error

การศึกษาในครั้งนี้ วิธี division factor ถูกนำมาใช้ประมาณความสูงของบุคคลจากค่าความยาว / ความกว้าง ที่ได้จากการวัดรอบฝ่าเท้าและเส้นรอบร่วงฝ่าเท้า ค่า mean error ถูกนำมาประกอบเพื่อดูค่าความคลาดเคลื่อนที่เกิดจากการประมาณความสูง พบว่าค่า mean error (3.29 – 3.47) ที่เกิดจากการวัดความยาวนิ่วเท้ามีค่าน้อยเมื่อเทียบกับวิธีการวัดอื่น (3.86 – 4.66) ซึ่งแสดงให้เห็นว่าค่าที่ได้จากการวัดความยาวของรอยฝ่าเท้าและเส้นรอบร่วงฝ่าเท้ามีความน่าเชื่อถือในการประมาณความสูงมากกว่า เช่น breadth at ball / heel และ big toe pad length / breadth ซึ่งการศึกษาครั้งนี้พบวามีค่าความน่าเชื่อถือในการประมาณความสูงน้อยที่สุดที่ big toe pad breadth ผลการศึกษานี้ยังสอดคล้องกับการศึกษาของ Jasuja [27] ว่าค่า mean error จำนวนน้อยเมื่อวัดความยาวของเท้า ขณะที่จะมากเมื่อวัดจากความกว้างของเท้า วิธี division factor ในการประมาณความสูงจากความยาวของเท้า ($T - \text{length}$) และความยาวเส้นรอบร่วงฝ่าเท้า ($T - 1 \text{ length}$) ถูกนำมาเปรียบเทียบกับการศึกษาของ Robbins [13] และ Philip [44] ตารางที่ 9 ผลการศึกษาครั้งนี้พบว่ากับการศึกษาอื่นด้วย

Table 9

Comparison of the values of division factor/ratio index for estimation of stature with Robbins [13] and Philip [44]

Measurement (cm)	Present study (division factor)	Robbins [13] (stature ratio index) (%)	Philip [44] (stature ratio index) (%)
Left footprint length	0.1424	14.387	14.25
Right footprint length	0.1427	14.312	14.28
Left foot outline length	0.1512	15.199	15.25
Right foot outline length	0.1497	15.128	15.23

จากการศึกษาครั้งนี้ ค่าสัมพันธ์ระหว่างวิธีการวัดรอยฝ่าเท้าและเส้นรอบร่างฝ่าเท้ากับความสูงบุคคลพบว่ามีค่าความสัมพันธ์เป็นเส้นตรงและมีความสัมพันธ์ที่ใกล้ชิดระหว่างความสูงกับวิธีการวัดเหล่านั้น ความสัมพันธ์ที่ค่อนข้างสูงนี้ทำให้สามารถประมาณความสูงได้ทั้งเท้าซ้ายและขวา ของทั้งรอยฝ่าเท้าและเส้นรอบร่างฝ่าเท้า อีกทั้งความสัมพันธ์ระหว่างความสูงกับวิธีการวัดความยาวนิ้วเท้าทั้งเท้าซ้ายและขวา มีค่าที่สูงมาก (0.82- 0.87) จึงชี้ให้เห็นว่าค่าความสัมพันธ์ระหว่างทั้งสองตัวแปรอย่างใกล้ชิด ใกล้เคียงกับผลการศึกษาของ Robbins [30] ในกลุ่มตัวอย่างจำนวน 550 คน (0.80 – 0.85) Ozden และคณะ [30] ที่ศึกษาในกลุ่มตัวอย่างชาวตุรกีเพศชายจำนวน 294 คนกับการศึกษาของ Singh และ Phookan [45] ที่ศึกษาในกลุ่มตัวอย่างที่แตกต่างกัน 4 ชาติพันธุ์ในอินเดีย โดยผลการศึกษาพบว่าความยาวของเท้าสามารถประมาณความสูงได้ดีกว่าความกว้างของเท้า

เมื่อตรวจสอบความแม่นยำด้วยสมการทดแทน โดยแทนค่าความยาวของนิ้วโป้ง (T-1 length) ต่ำสุด สูงสุดและค่าเฉลี่ยเพื่อคำนวนความสูงบุคคล เมื่อเทียบกับค่าต่ำสุด สูงสุดและค่าเฉลี่ยความสูงที่แท้จริง (ตารางที่ 10) ดังตารางจะเห็นได้ว่าค่าในสมการทดแทนมีค่าในการประเมินความสูงที่ต่ำ เมื่อเทียบด้วยความยาว T-1 length ด้วยค่าต่ำสุดและค่าสูงสุด อย่างไรก็ตามเมื่อเทียบด้วยค่าเฉลี่ยพบว่าค่าประมาณความสูงมีค่าที่ใกล้เคียงกับความสูงจริง จึงแนะนำสมมากกว่าหากใช้ข้อมูลซึ่งกลางในการประมาณความสูง

Table 10
Comparison of actual stature and estimated stature from left T-1 length of footprint using respective regression equations ($n = 1040$)

Value	Minimum estimated stature (cm)	Maximum estimated stature (cm)	Mean estimated stature (cm)
Mean estimated stature	156.31	178.56	172.73
Actual stature	150.81	186.30	172.68

การศึกษาในครั้งนี้ เมื่อเปรียบเทียบค่า mean error ระหว่างวิธี division factor และวิธี regression (เปรียบเทียบตารางที่ 4 กับตารางที่ 6 และ 7) พบว่าค่า mean error ด้วยวิธี division factor มีค่าที่มากกว่าเล็กน้อยเมื่อเทียบกับวิธี regression แสดงให้เห็นว่าการประมาณความสูงด้วยวิธี regression มีความน่าเชื่อถือมากกว่าวิธี division factor และ Robbins [12] ผู้ได้แนะนำในหนังสือของเขาว่าการใช้ค่าวิธีร้อยละความแปรปรวนแทนในสมการทดแทนและยังเน้นด้วยว่าการประมาณความสูงโดยใช้ค่าเฉลี่ยแทนความยาวของเท้าจริงและคำนวนเป็นร้อยละความสูงนั้นจะมีความซ้ำซ้อนมากเกินไป การศึกษาครั้งนี้จึงสอดคล้องกับรายงานของ Robbins [12] ดังที่กล่าวข้างต้น

การศึกษาในครั้งนี้ได้ผลการศึกษาที่ดีกว่าเมื่อเทียบเรื่องค่าสหสมพันธ์ระหว่างความสูงกับวิธีการวัดรายฝ่าเท้าและเส้นรอบร่างฝ่าเท้าวิธีต่างๆ มีความแม่นยำและสามารถปรับใช้ได้ทั้งวิธี division factor และวิธี regression ในการประมาณความสูงจากวิธีการวัดรายฝ่าเท้าและเส้นรอบร่างฝ่าเท้าอาจเนื่องมาจากการศึกษาครั้งนี้ใช้กลุ่มตัวอย่างที่มีขนาดใหญ่ (2,080 รายฝ่าเท้าจากกลุ่มตัวอย่าง 1,040 คน) มากกว่าหลายการศึกษาที่กล่าวข้างในงานวิจัยนี้ เหตุผลอื่นที่อาจส่งผลคือกลุ่มตัวอย่างที่ใช้กลุ่มตัวอย่างชาวยา Gujjar ทางตอนเหนือของอินเดียซึ่งเป็นกลุ่มประชากรกลุ่มเดียว กล่าวคือประชากรของกลุ่มนี้จะมีการแต่งงานภายในครอบครัวเดียวกัน ดังนั้นจึงเป็นกลุ่มประชากรที่สำคัญยิ่งในลักษณะทางมนุษยวิทยา พันธุศาสตร์และนิติวิทยาศาสตร์

5. สรุปผลการศึกษา

จากการศึกษาในครั้งนี้สามารถสรุปได้ว่า รายฝ่าเท้าและเส้นรอบร่างฝ่าเท้ามีความสำคัญอย่างยิ่งในการประมาณความสูงในกระบวนการพิสูจน์ทางนิติวิทยาศาสตร์ ความยาวของรอยฝ่าเท้าและเส้นรอบร่างฝ่าเท้ามีความสัมพันธ์ที่สูงยิ่งกับความสูง ดังนั้นจึงสามารถพยากรณ์ความสูงของบุคคลได้ดีกว่าวิธีอื่น และจะมีความน่าเชื่อถือเมื่อใช้วิธีการประมาณด้วยวิธี regression หากกว่าวิธี division factor ในเชิงที่พบรความแตกต่างระหว่างเท้าซ้ายและขวาในบางวิธีการวัดไปใช้ให้เหมาะสมและในข้างที่เหมาะสมด้วย และประเด็นสำคัญที่พึงนึกถึงเสมอคือกลุ่มประชากรแม้แต่ในประเทศอินเดียมีน้ำหนักจากหล่ายส่วน ดังนั้nlักษณะสัณฐานวิทยาอาจขึ้นอยู่กับลักษณะทางภูมิศาสตร์และลักษณะตามผ่านพันธุ์ ซึ่งไม่สามารถเป็นตัวแทนของประชากรทั้งประเทศได้ จึงแนะนำว่าการศึกษาในครั้งต่อไปควรมีการศึกษาในกลุ่มประชากรกลุ่มเดียวกันที่เป็นกลุ่มอื่นที่อาศัยกระจายทั่วไปของโลกซึ่งอิทธิพลของพันธุกรรมและสิ่งแวดล้อมจะสามารถวิเคราะห์ในเชิงนิติวิทยาศาสตร์ได้ต่อไป

6. บทวิจารณ์งานวิจัย

- 1) การศึกษาในครั้งต่อไปควรจะมีการศึกษารอยฝ่าเท้าและเส้นรอบร่างฝ่าเท้าที่เกิดจากหล่ายอิริยาบถ เช่น เดินหรือวิ่ง ซึ่งจะสามารถนำผลการศึกษาที่ได้ปรับใช้ได้กับสถานการณ์จริงที่อาจจะพบลักษณะรอยเท้ารูปแบบอื่นในสถานที่เกิดเหตุมากกว่าการยืน
- 2) ควรจะมีการศึกษาในเพศหญิงและช่วงอายุอื่นด้วย
- 3) ควรจะมีการศึกษาในประชากรที่หลากหลายกลุ่ม จะทำให้ผลการศึกษาที่ได้สามารถเป็นข้อมูลของประชากรอินเดียที่แท้จริง

7. ປຽດນານຸກຮມ

- [1] S.R. Qamra, B.R. Sharma, P. Kaila, Naked footmarks—a preliminary study of identification factors, *Forensic Sci. Int.* 16 (1980) 145–152.
- [2] B.R. Sharma, *Forensic Science in Criminal Investigation*, Central Law Agency, Allahabad, India, 1990, pp. 176–190.
- [3] G.W. Gayer, *Footprints*, Government Publication, Lucknow, U.P., India, 1904.
- [4] L.M. Robbins, The individuality of human footprints, *J. Forensic Sci.* 23 (1978) 778–785.
- [5] W. Winkelmann, Use of footprints, especially forefoot prints, from the forensic viewpoint, *Z. Rechtsmed.* 99 (1987) 121–128.
- [6] G.E. Laskowski, V.L. Kyle, Barefoot impressions—a preliminary study of identification characteristics and population frequency of their morphological features, *J. Forensic Sci.* 33 (1988) 378–388.
- [7] R.B. Kennedy, I.S. Pressman, S. Chen, P.H. Patersen, A.E. Pressman, Statistical analysis of barefoot impressions, *J. Forensic Sci.* 48 (2003) 55–63.
- [8] R.B. Kennedy, S. Chen, I.S. Pressman, A.B. Yamashita, A.E. Pressman, A large-scale statistical analysis of barefoot impressions, *J. Forensic Sci.* 50 (2005) 1071–1080.
- [9] V.L. Naples, J.S. Miller, Making tracks: the forensic analysis of footprints and footwear impressions, *Anat. Rec. B: New Anat.* 279 (2004) 9–15.
- [10] K. Krishan, Individualizing characteristics of footprints in Gujjars of North India—Forensic aspects, *Forensic Sci. Int.* 169 (2007) 137–144.
- [11] L.M. Robbins, A method for analyzing footprints/shoeprints, in: Proceedings of the 10th Triennial Meeting of the International Association of Forensic Sciences, Oxford, England, 18–25 September, 1984.
- [12] L.M. Robbins, *Footprints—Collection, Analysis and Interpretation*, Charles C. Thomas, Springfield, IL, USA, 1985.
- [13] L.M. Robbins, Estimating height and weight from size of footprints, *J. Forensic Sci.* 31 (1986) 143–152.
- [14] E. Giles, P.H. Vallandigham, Height estimation from foot and shoeprint length, *J. Forensic Sci.* 36 (1991) 1134–1151.
- [15] O.P. Jasuja, J. Singh, M. Jain, Estimation of stature from foot and shoe measurements by multiplication factors: a revised attempt, *Forensic Sci. Int.* 50 (1991) 203–215.

- [16] C.C. Gorden, J.E. Buikstra, Linear models for the prediction of stature from foot and boot dimensions, *J. Forensic Sci.* 37 (1992) 771–782.
- [17] O.P. Jasuja, Manjula, Estimation of stature from footstep length, *Forensic Sci. Int.* 61 (1993) 1–5.
- [18] S.L. Barker, J.L. Scheuer, Predictive value of human footprints in a forensic context, *Med. Sci. Law* 38 (1998) 341–346.
- [19] K. Krishan, Limb bilateral asymmetry and footprints of male adult Gujjar population in parts of Punjab and Haryana, PhD Dissertation, Panjab University, Chandigarh, India, 2002.
- [20] K. Krishan, R.N. Vashisht, Estimation of stature from foot-prints in adult male Gujjars, in: M.K. Bhasin, S. Nath (Eds.), *Role of Forensic Science in the New Millennium*, Department of Anthropology, University of Delhi, New Delhi, India, 2002, pp. 13–18.
- [21] K. Krishan, A. Sharma, Estimation of stature from dimensions of hands and feet in a North Indian population, *J. Clin. Forensic Med.* 14 (2007) 327–332.
- [22] P. Topinard, *L' Anthropologie*, C. Reinwald, Paris, 1876.
- [23] P. Topinard, *Anthropology*, Chapman and Hall, London, 1876.
- [24] R. Martin, *Lehrbuch der Anthropologie*, 1914, Gustav Fischer, Jena, 1928
- [25] R. Martin, K. Saller, *Lehrbuch der Anthropologie*, Gustav Fischer, Stuttgart, 1959.
- [26] L. Pales, *Les Empreintes de Pieds Humains dans les Cavernes Archives de l'Institut de Pale'ontologie Humaine Me'm.* 36, 1976 (cited from [14]).
- [27] O.P. Jasuja, Calculation of stature from foot and shoe impressions, PhD Dissertation, Punjabi University, Patiala, India, 1987.
- [28] V.K. Sharma, R.K. Garg, P.K. Chattopadhyay, Calculation of stature from foot measurements: a study of Gaur Brahmins, *Coll. Antropol.* 2 (1978) 194–195.
- [29] T.A. Philip, Formulae for estimating stature from foot size by regression method, *J. Ind. Acad. Forensic Med.* 12 (1990) 57–62.
- [30] H. Ozden, Y. Balci, C. Demirustu, A. Turgut, M. Ertugrul, Stature and sex estimate using foot and shoe dimensions, *Forensic Sci Int.* 147 (2005) 181–184.
- [31] J. Comas, *Manual of Physical Anthropology*, C.C. Thomas Springfield, USA, 1960, pp. 713–717.
- [32] J.S. Weiner, J.A. Lourie, *Human Biology—A Guide to Field Methods*, Blackwell Scientific Publications, Oxford and Edinburgh, 1981.

- [33] M. Anderson, M. Blais, W.T. Green, Growth of the normal foot during childhood and adolescence—length of the foot and interrelations of foot, stature and lower extremity as seen in serial records of children between 1–18 years of age, *Am. J. Phys. Anthropol.* 14 (1956) 287–308.
- [34] M.M. Blais, W.T. Green, M. Anderson, Lengths of the growing foot, *J. Bone Joint Surg.* 38A (1956) 998–1000.
- [35] A.F. Roche, Bone growth and maturation, in: F. Falkner, J.M. Tanner (Eds.), 2nd ed., *Human Growth—A Comprehensive Treatise*, vol. 2, Plenum Press, New York and London, 1986, pp. 25–60.
- [36] A.F. Roche, G.H. Davila, Late adolescent growth in stature, *Pediatrics* 50 (1972) 874–880.
- [37] J.S. Friedlaender, P.T. Costa Jr., R. Bosse, E. Ellis, J.G. Rhoads, H.W. Stoudt, Longitudinal physique changes among healthy white veterans at Boston, *Hum. Biol.* 49 (1977) 451–558.
- [38] T.A. Philip, Foot size for predicting stature of males, *J. Ind. Acad. Forensic Sci.* 27 (1988) 30–39.
- [39] I. Singh, Functional asymmetry in the lower limbs, *Acta Anat.* 77 (1970) 131–138.
- [40] N.G. Rao, M.S. Kotian, Footprint ratio (FPR)—a clue for establishing sex identity, *J. Ind. Acad. Forensic Med.* 12 (1990) 51–56.
- [41] A.D. Dangour, Growth of upper and lower body segments in Patamona and Wapishana Amerindian children (cross-sectional data), *Ann. Hum. Biol.* 28 (2001) 649–663.
- [42] A.D. Dangour, Cross-sectional changes in anthropometric variables among Wapishane and Patamona Amerindian adults, *Hum. Biol.* 75 (2003) 227–240.
- [43] S.J. Ulijaszek, D.A. Kerr, Anthropometric measurement error and the assessment of nutritional status, *Br. J. Nutr.* 82 (1999) 165–177.
- [44] T.A. Philip, Reconstruction of stature from foot outline and footprint size, *J. Ind. Acad. Forensic Med.* 11 (1989) 15–20.
- [45] T.S. Singh, M.N. Phookan, Stature and foot size in four Thai communities of Assam, India, *Anthrop. Anz.* 51 (1993) 349–355